

# Physik

## Elektrizität:

### Elektrische Ladung:

- es gibt positive und negative Ladung
- Ladungen mit gleichem Vorzeichen stoßen sich ab, solche mit Ungleichen an
- Kraftwirkung ist kugelsymmetrisch
- Ladung ist erhalten
- kleinste mögliche Ladung: Elementarladung e
- keine Ladung ohne Masse, aber Masse ohne Ladung
- Ladung ist quantisiert  $q = en \cdot e$
- in abgeschlossenen Systemen ist die Summe aller Ladungen konstant

elektrische Ladung  $Q = 1C = 1As$   
Elementarladung  $e = 1.602 \cdot 10^{-19} C$

### Coulombkraft (elektrostatische Kraft):

→ Für 2 Ladungen:

$$\vec{F} = \frac{1}{4\pi\epsilon_0} Q_1 Q_2 \frac{\vec{r}_0 - \vec{r}_1}{|\vec{r}_0 - \vec{r}_1|^3} = \frac{1}{4\pi\epsilon_0} Q_1 Q_2 \frac{\vec{e}_r}{r^2}$$

→ für n Ladungen:

$$\vec{F} = \frac{Q_0}{4\pi\epsilon_0} \sum_{i=1}^n Q_i \frac{\vec{r}_0 - \vec{r}_i}{|\vec{r}_0 - \vec{r}_i|^3}$$

→ für kontinuierliche Ladungsverteilung:

$$\vec{F} = \frac{Q_0}{4\pi\epsilon_0} \int_V \rho(\vec{r}') \frac{\vec{r}_0 - \vec{r}'}{|\vec{r}_0 - \vec{r}'|^3} dV'$$

Dielektrizitätskonstante  $\epsilon_0 = 8,854 \cdot 10^{-12} \frac{C^2}{N \cdot m^2}$   
Volumenladungsdichte  $\rho = 1 C/m^3$

### Elektrisches Feld:

Kraft, die auf eine Einheitsladung 1C am Ort  $r_0$  wirkt

elektrisches Feld  $\vec{E} = 1 N/C = 1 V/m$

→ Definition: → Punktladung:

$$\vec{E}(r_0) = \frac{\vec{F}(r_0)}{Q_0} \quad \vec{E}(r_0) = \frac{Q\vec{r}}{4\pi\epsilon_0 r^3}$$

→ diskrete Ladungsverteilung:

$$\vec{E}(r_0) = \frac{1}{4\pi\epsilon_0} \sum_{i=1}^n Q_i \frac{\vec{r}_0 - \vec{r}_i}{|\vec{r}_0 - \vec{r}_i|^3}$$

→ kontinuierliche Ladungsverteilung:

$$\vec{E}(r_0) = \frac{1}{4\pi\epsilon_0} \int_V \rho(\vec{r}') \frac{\vec{r}_0 - \vec{r}'}{|\vec{r}_0 - \vec{r}'|^3} dV'$$

### Feldlinien:

- können sich nicht schneiden
- Dichte der Feldlinien ist proportional zur Stärke des Feldes
- Anfang und Ende, können auch geschlossen sein

### Elektrischer Dipol:

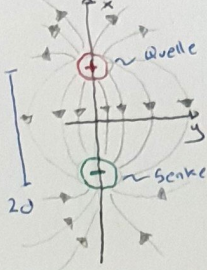
2 Ladungen im Abstand  $2d$  mit gleichem Bezug aber umgekehrten Vorzeichen

elektrische Dipol-

moment  $\vec{p} = Q \cdot 2d$   
1 Debye =  $3,335 \cdot 10^{-30} Cm$

→ Zeigt von der negativen zur positiven Ladung

- Dipol ist Ladungszentrum  
- Fernfeld nimmt mit  $r^3$  ab



### Formeln für den Dipol:

$$\text{Richtung } \vec{E}(x) = \frac{q}{4\pi\epsilon_0} \frac{4|x|}{(x-d)^2(x+d)^2} \vec{e}_x$$

$$\text{Fernfeld } x \gg d \quad \vec{E}(x) \approx \frac{q}{4\pi\epsilon_0} \frac{4d}{x^3} \vec{e}_x = \frac{1}{4\pi\epsilon_0} \frac{2\vec{p}}{x^3}$$

$$\text{Richtung } \vec{E}(y) = -\frac{q}{4\pi\epsilon_0} \frac{2d}{(y^2+d^2)^{3/2}} \vec{e}_x$$

$$\text{Fernfeld } y \gg d \quad \vec{E}(y) \approx -\frac{q}{4\pi\epsilon_0} \frac{2d}{y^3} \vec{e}_x = -\frac{1}{4\pi\epsilon_0} \frac{2\vec{p}}{y^3}$$

$$\text{allg. } \vec{E}(r) = \frac{1}{4\pi\epsilon_0} \frac{2\vec{p}}{r^3} \approx \frac{1}{4\pi\epsilon_0} \frac{3(\vec{p} \cdot \vec{r})\vec{r}}{r^5} - \frac{\vec{E}_0}{r^2}$$

### Dipol im elektrischen Feld:

• Drehmoment:

$$\vec{M} = \vec{p} \times \vec{E}_0$$

$$\text{potentielle Energie: } E_{el} = -\vec{p} \cdot \vec{E}_0 \quad \rightarrow \text{Dipol richtet sich entlang den Feldlinien aus}$$

### Elektrischer Fluss:

entspricht der Anzahl Feldlinien die durch eine Fläche hindurchlaufen

$$\text{elektrischer Fluss } \Phi_E = 1 \text{ Nm}^2/\text{C}$$

→ allgemeine Definition:

$$\Phi_E = \int_A \vec{E}(\vec{r}') \cdot d\vec{A}'$$

→ homogenes elektrisches Feld:

$$\Phi_E = \vec{E} \cdot \vec{A} = |\vec{E}| \cdot |\vec{A}| \cdot \cos(\theta)$$

→ Flächennormale  $\vec{A}$  Winkel zwischen  $\vec{E}, \vec{A}$

### Gesetz von Gauß:

Der Fluss durch die Oberfläche eines Volumens ist proportional zur eingeschlossenen Ladung. Der Fluss hängt nur von der eingeschlossenen Ladung ab, nicht von der Fläche.

→ diskrete Ladungsverteilung:

$$\oint_A \vec{E}(\vec{r}') \cdot d\vec{A}' = \frac{Q}{\epsilon_0} = \frac{1}{\epsilon_0} \sum_i Q_i$$

→ kontinuierliche Ladungsverteilung:

$$\oint_A \vec{E}(\vec{r}') \cdot d\vec{A}' = \frac{1}{\epsilon_0} \int_V \rho(\vec{r}') dV'$$

→ Differentialform:

$$\vec{E} \cdot \vec{E} = \frac{P}{\epsilon_0}$$

→ Die in einem Volumen eingeschlossene Gesamtladung ist proportional zur Differenz der Anzahl hinauslaufenden minus der Anzahl hineinlaufenden Feldlinien

→ Wichtige elektrische Felder:

→ unendlich ausgedehnte Platte:

$$\oint_A \vec{E}(\vec{r}') \cdot d\vec{A}' = \oint_A \vec{E}(\vec{r}') \cdot d\vec{A}' = 2E(r) A = \frac{Q}{\epsilon_0}$$

A, Quader      A, Stirnfläche      Gesetz von Gauß

$$E(r) = \frac{Q}{2\epsilon_0 r}$$

→ unendlich langer Draht:

$$\oint_A \vec{E}(\vec{r}') \cdot d\vec{A}' = \oint_A \vec{E}(\vec{r}') \cdot d\vec{A}' = E(r) 2\pi r l = \frac{Q}{\epsilon_0}$$

A, Zylinder      A, Mantel      Gesetz von Gauß

$$E(r) = \frac{Q}{2\pi\epsilon_0 r}$$

Flächenladungsdichte  $\sigma = C/m^2$

Linienladungsdichte  $\lambda = C/m$

### Elektrostatische Energie:

$$E_{el} = - \int_{r_1}^{r_2} \vec{F}(\vec{r}) \cdot d\vec{r} = - \int_{r_1}^{r_2} (Q \vec{E}(\vec{r})) \cdot d\vec{r}$$

→ elektrische Feld ist konservativ

→ Arbeit hängt nur Anfangs- und Endpunkt ab, nicht vom Weg

### Elektrostatische Energie im homogenen elektrischen Feld:

$$E_{el} = - Q \vec{E} \cdot (\vec{r}_2 - \vec{r}_1)$$

### Elektrische Spannung

Potentialdifferenz zwischen 2 Punkten  
→ elektrostatische Energie pro Einheitsladung  $a = 1C$

$$U = \frac{E_{el}}{a} = - \int_{r_1}^{r_2} \vec{E}(\vec{r}) \cdot d\vec{r}$$

$$\text{Spannung } U = 1V = 1 J/C$$

### elektrisches Potential:

Spannung relativ zum definierten Nullpunkt (unendliche Entfernung)

→ elektrische Feldlinien zeigen in Richtung abnehmendes Potential

→ ein geladenes Teilchen bewegt sich immer dort hin, wo seine potentielle Energie abnimmt

$$\Phi(\vec{r}) = - \int_{\infty}^{\vec{r}} \vec{E}(\vec{r}') \cdot d\vec{r}'$$

### Potential einer Punktladung:

$$\Phi(\vec{r}) = - \int_{\infty}^{\vec{r}} \vec{E}(\vec{r}') d\vec{r}' = - \frac{1}{4\pi\epsilon_0} \int_{\infty}^{\vec{r}} \frac{Q}{r'^2} \frac{\vec{r}}{r'} = \frac{1}{4\pi\epsilon_0} \frac{Q}{r}$$

### Potential eines Punktopols:

$$\Phi(\vec{r}) = \frac{Q}{4\pi\epsilon_0} \frac{2\vec{r}}{r^3} = \frac{1}{4\pi\epsilon_0} \frac{\vec{p} \cdot \vec{r}}{r^3}$$

### Potential einer kontinuierlichen Ladungsverteilung:

$$\Phi(\vec{r}) = \frac{1}{4\pi\epsilon_0} \int_V \frac{\rho(\vec{r}')}{r^3} dV'$$

### Auropotentiallinien / -Flächen:

→ senkrecht auf el. Feldlinien  
→ können sich bei einem Sattelpunkt kreuzen

### Feldgleichungen:

$$(\vec{E}(\vec{r}) = -\vec{\nabla} \Phi(\vec{r})) = -\left(\frac{\partial \Phi}{\partial x}, \frac{\partial \Phi}{\partial y}, \frac{\partial \Phi}{\partial z}\right)$$

$$\frac{\rho(\vec{r})}{\epsilon_0} = -\Delta \Phi(\vec{r}) \quad \rightarrow \text{Poisson-Gleichung}$$

### Leitender Körper:

- el. Feld ist 0 im Inneren
- Potential ist konstant im Inneren
- alle Ladungen befinden sich auf der Oberfläche
- el. Feld steht senkrecht zur Oberfläche
- wird ein Leitender Körper in ein el. Feld gebracht, gruppieren sich die Oberflächenladungen daran, dass das el. Feld im Inneren ausgeglichen wird
- $\vec{E}(\vec{r}) = \frac{\vec{Q}(\vec{r})}{\epsilon_0}$ ,  $\vec{n} \times \vec{E}(\vec{r}) = \vec{0}$ ,  $\vec{\Phi}(\vec{r}) = \text{const.}$

### Eigenschaften el. Feld:

Beim Durchqueren einer Oberfläche mit Ladungsdichte  $\sigma$ , ändert sich das el. Feld um den Betrag  $\sigma/\epsilon_0$

$$\frac{\sigma}{\epsilon_0} \begin{pmatrix} + & 0 & + \\ + & 0 & + \\ + & 0 & + \end{pmatrix} \frac{\sigma}{2\epsilon_0} \begin{pmatrix} + & 0 & + \\ + & 0 & + \\ + & 0 & + \end{pmatrix}$$

$$\vec{E} - \text{Feld} \propto \frac{1}{\text{Krümmungsradius}}$$

→ elektrische Durchschläge treiben an Orten mit starker Krümmung auf

## Elektrizität (Fortsetzung)

### Influenz:

El. Leiter verschieben ihre Ladungen so, dass das elektrische Feld im Inneren Null ist.  
→ Ladungsseparation

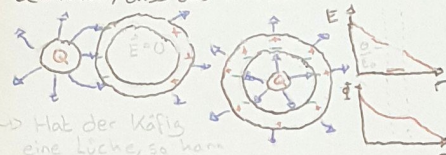


### Erdung:

Elektronen aus der Erde neutralisieren die positive Ladung.

### Abschirmung (Faraday'scher Käfig):

ein leitender Hohlkörper in einem el. Feld, beeinflusst, dass das el. Feld im Inneren 0 ist



→ Hat der Käfig eine Lücke, so kann das el. Feld bis auf eine Distanz ähnlich der Lücke eindringen

### Prinzip der Spiegelladung:

Eine Probeladung induziert auf einem El. Leiter eine Flächenladung, die dasselbe Feld generiert wie eine spiegelbildliche Probeladung mit entgegengesetztem Vorzeichen

### Kondensator:

→ insgesamt ladungsneutral

### Plattenkondensator:

$$\vec{E} = \frac{\Theta}{2\epsilon_0} \vec{r} + \frac{-\Theta}{2\epsilon_0} (-\vec{r}) = \frac{\Theta}{\epsilon_0} \vec{r} = \frac{Q}{A\epsilon_0} \vec{r}$$

$$U = |E|d = \frac{\Theta}{\epsilon_0} d = \frac{Qd}{A\epsilon_0}$$

→ Feld ist homogen (positionstraubhängig)

### Kapazität:

Mass für das Ladungsfassungsvermögen bei gegebener Spannung

$$C = \frac{Q}{U} = \frac{A\epsilon_0}{d} = \frac{A\epsilon_0}{d} = 1 \text{ Farad} = 1 \text{ F}$$

↳ Kapazität eines Plattenkondensators

### Energie im Kondensator:

$$E_{el} = \int_0^Q U(Q') dQ' = \frac{1}{2} \frac{Q^2}{C} = \frac{1}{2} QU = \frac{1}{2} U^2 C$$

→ Plattenkondensator:

$$E_{el} = \frac{Q^2 d}{2 A \epsilon_0} = \frac{U^2 A \epsilon_0}{2 d} = \frac{U^2 C}{2}$$

### Energieichte des E-Feldes:

$$w = \frac{1}{2} \epsilon_0 |E|^2 = \frac{1}{2} \epsilon_0 Q^2 / d^2$$

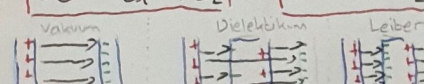
→ Plattenkondensator: → Speicherfähigkeit

$$w = \frac{E_{el}}{V} = \frac{U^2 A \epsilon_0}{2 d (A \epsilon_0)} = \frac{U^2 \epsilon_0}{2 d^2}$$

### Schaltung von Kondensatoren:

→ Serienschaltung → Parallelschaltung:

$$\frac{1}{C} = \frac{1}{C_1} + \frac{1}{C_2} \quad C = C_1 + C_2$$



### Kondensator mit Dielektrikum:

→ Konstante Ladung

$$U = \frac{U_0}{\epsilon_r}; C = \frac{Q \epsilon_r}{U_0} = C_0 \epsilon_r; \epsilon_r = \frac{|E|}{|E_0|}$$

Dielektrizitätszahl [ $\epsilon_r$ ] = skalar

→ konstante Spannung:

Wegen der Verschiebungspolarisation erzeugt ein Dielektrikum ein Gegenfeld zum Feld des Kondensators → die Batterie muss Arbeit verrichten, um mehr Ladungen auf die Platten zu bringen, um das Gegenfeld auszugleichen → diese zusätzliche Energie steckt im Feld

→ Energie im Kondensator und die Ladung auf den Platten erhöht sich um  $\epsilon_r$   
Dielektrizitätskonstante der Materie/  
elektrische Permittivität [ $\epsilon$ ]  $\epsilon = \epsilon_r \epsilon_0$

### Elektrische Polarisation:

→ Verschiebungspolarisation:

→ Atomkerne und Elektronen verschieben sich wegen dem Feld geringfügig → Dipol  
→ makroskopische el. Polarisation

→ Orientierungspolarisation:

→ das E-Feld übt auf Moleküle mit permanentem el. Dipol ein Drehmoment aus → makroskopische el. Polarisation

→ Vergleich:

Eigenschaft	Verzerrung	Orientierung
Vorkommen	alle Atome, Moleküle	nur bei solchen mit permanentem Dipol
relative Stärke	schwach	stark
Temperaturabhängigkeit	nein	ja: $T \uparrow P \downarrow$
Polarisierbarkeit $\alpha$ $\propto$ Molekülgroße	$\propto$ Dipolmoment, Temperatur	

→ mittlere Dipolmoment:

$$\langle \vec{P} \rangle = \alpha \vec{E}$$

makroskopische Polarisation [ $\vec{P}$ ]

$$\vec{P} = \frac{N}{V} \langle \vec{P} \rangle = \frac{N}{V} \alpha \vec{E} \rightarrow N: \# \text{ Atome}/\# \text{ Moleküle}$$

→ Prinzip der Oberflächenladung:  $\vec{E} = \vec{E}_0 + \vec{E}_{pol}$

$$\vec{E}_p = -\frac{\vec{P}}{\epsilon_0} = -\frac{N \alpha}{V \epsilon_0} \vec{E} = -X_E \vec{E}$$

elektrische Suszeptibilität [ $X_E$ ]

$$X_E = \frac{1}{\epsilon_0} \frac{d\epsilon}{dE} = \frac{1}{\epsilon_0} \frac{d\epsilon}{d(\vec{E} - \vec{E}_p)}$$

$\vec{E}$ -Feld wegen der Polarisation, Oberflächenladungen

### Elektrischer Strom:

$$I = \frac{Q}{t} = \frac{dQ}{dt} \quad [I] = 1 \text{ Ampère} = 1 A = 1 C/s$$

→ Ladung pro Zeit

### Ladungsträger:

- Elektronen in Metallen

- Ionen in Salzen/Lösungen

- Teilchenstrahlen im Vakuum

→ technische Stromrichtung:

Bewegungsrichtung der positiven Ladung

→ physikalische Stromrichtung:

Bewegungsrichtung der negativen Ladung

→ Ursache des elektrischen Stroms:

Teilchen erfahren eine Coulombkraft im E-Feld

$$\ddot{a} = \frac{F}{m} = \frac{Q}{m} \vec{E} \quad \ddot{a} = \text{Beschleunigung}$$

Dichte der Leiteranalektroden

Driftgeschwindigkeit von Elektronen

$$[v_d] = -\frac{\vec{I}}{neA} = -\frac{\vec{I}}{e \cdot n \cdot A} \quad n = \frac{N}{V} = \frac{N}{A L}$$

Leiterquerschnitt, Distanz, die die e<sup>-</sup> zurücklegen

### Elektrischer Widerstand:

$$\text{Stromdichte } [\vec{J}] \quad j = \frac{\vec{I}}{A}$$

$$\text{spezifische Leitfähigkeit } [\sigma] = 1 S/m^{-1}$$

$$\sigma = \frac{I \text{ Volts}}{I E l} = \frac{I j}{I E l} \quad \rightarrow \text{Verhältnis von transportierbarer Ladung zum E-Feld}$$

$$\rho = 1/\sigma = I E / (j l) \quad \rightarrow \text{Inverse der Leitfähigkeit makroskopischer el. Widerstand } [R]$$

$$R = \rho \frac{l}{A} = \frac{I E l}{I j l A} = \frac{U}{I} \quad \rightarrow \text{Abhängig von geometrischen Parametern}$$

$$G = \frac{1}{R} = \frac{I}{U} = \frac{A}{l} \quad \rightarrow \text{makroskopischer el. Leitwert } [G]$$

### Ohm'sches Gesetz:

- Widerstand ist unabhängig von der Größe der angelegten Spannung

- Driftgeschwindigkeit ist proportional zum angelegten elektrischen Feld

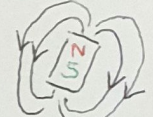
### Elektrische Leistung:

$$P = \frac{\Delta E}{\Delta t} = \frac{U d Q}{\Delta t} = UI = RI^2 = \frac{U^2}{R}$$

→ durch Zusammenstoße geben el. Fortlaufend Bewegungsenergie an andere

→ Widerstand ist temperaturabhängig → steigt mit zunehmender Temperatur

### Magnetismus:



### Magnetfelder:

#### Allgemeines:

- Vektorfeld: Stärke und Richtung

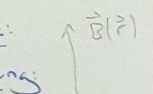
- werden durch elektrische Ströme (bewegte Ladung) erzeugt

- gleiche Pole stoßen sich ab, entgegengesetzte

- es gibt nur Dipole

- magnetische Feldlinien sind geschlossen

### Biot-Savart Gesetz:



### bewegte Punktladung:

$$\vec{B}(\vec{r}) = \frac{\mu_0 Q \cdot \vec{v} \times \vec{r}}{4\pi r^3}$$

- v: Geschwindigkeit der Ladung

- r: Abstand zur Ladung

$$\text{magnetische Feldkonstante } [\mu_0] = 4\pi \cdot 10^{-7} \frac{N}{A^2}$$

↳ Permeabilität des Vakuums

### konstanter Strom:

$$\vec{B}(\vec{r}) = \frac{\mu_0 I \cdot dL \times (\vec{r} - \vec{r}')}{4\pi L^3}$$

$$\vec{B}(\vec{r}) = \frac{\mu_0 I}{4\pi} \int_{\vec{r}'}^{\vec{r}} \frac{d\vec{L} \times (\vec{r} - \vec{r}')}{r^3} dV$$

- v: Ork, wo das Feld gemessen wird

- r': Integrationsvariable, Position auf dem Pfad des Stroms

magnetische Flussdichte [ $\Phi_B$ ] = 1 Tesla

$$= 1 T = 10^4 \text{ Gauss} = 10^4 G = \frac{N}{A \cdot m}$$

$$\text{magnetische Feldstärke } [H] = \frac{A}{m}$$

$$B = \mu \cdot H$$

### Magnetfeld eines unendlich langen, geraden Leiters:

$$\vec{B}(x) = \frac{\mu_0 I}{4\pi} \int \frac{I}{(dz)^2} \frac{(x-z)}{(x^2+z^2)^{3/2}} dz$$

$$\vec{B}(z) = \frac{\mu_0 I}{2\pi} \frac{(I \times \vec{e}_z)}{z^2}$$

### Magnetfeld auf der Achse einer kreisförmigen Leiterschleife:

$$B(0) = \frac{\mu_0 I}{2R}$$

Fernfeld:

$$B(z) = \frac{\mu_0 I R^2}{2z^3}$$

Magnetfeld eines Kreisstroms ist identisch mit dem Feld eines Dipols

### Magnetischer Dipol:

magnetisches Dipolmoment [ $\vec{m}$ ]

$$\vec{m} = I \vec{A} = I \pi R^2 \vec{n}$$

Feld eines Dipols:

$$\vec{B}(r) \approx \frac{\mu_0}{4\pi} \cdot \frac{3\vec{r}(\vec{m} \cdot \vec{r}) - \vec{m}}{r^3}$$

Drehmoment auf einen mag. Dipol im äußeren mag. Feld.

$$\vec{M} = \vec{m} \times \vec{B}_0$$

Energie eines mag. Dipols:  $E_{pot} = -\vec{m} \cdot \vec{B}_0$

### Zylinderspule:

$$B_z(0) = \frac{\mu_0 I N}{2\pi R^2 + 1 \frac{L}{2}^2} \approx \frac{N}{L} \mu_0 I = \mu_0 j A$$

N: # Leiterschleifen

$$jA = IN/L$$

N/L: Windungsdichte

Längstromdichte

### Magnetischer Fluss:

$$\Phi_H = \int_A \vec{B}(r) \cdot d\vec{A} \quad \vec{B} = \vec{B}_0 + \vec{B}_M$$

magnetischer Fluss [ $\Phi_H$ ] = 1 Weber

= 1 WB = 1 Tm<sup>2</sup>

zumag. Fluss ist proportional zur Anzahl Felolini, die durch A hindurchgehen

### Gesetz von Gauss:

Fluss durch die Oberfläche eines geschlossenen Volumens ist proportional zur eingeschlossenen Ladung  $\rightarrow$  keine mag. Ladung

$$\oint_A \vec{B}(r) \cdot d\vec{A} = 0 \quad \nabla \cdot \vec{B}(r) = 0$$

# der Felolini in ein Volumen = # der Felolini aus einem Volumen

### Durchflutungsgesetz:

Der Strom durch eine Fläche ist proportional zum Magnetfeld, welches tangential dem Rand der Fläche auftrifft

$$\oint_L \vec{B}(r) \cdot d\vec{l} = \mu_0 I \quad \vec{B} \times \vec{B}(r) = \mu_0 j$$

Winkel  $\theta$  spielt keine Rolle  $\rightarrow$  Projektion des  $\vec{B}$ -Feldes wird kleiner, dafür wieder Integrationsweg länger

$$\oint_L \vec{B}(r) \cdot d\vec{l} =$$

$\rightarrow$  Umlaufamplitude nicht  $\perp$

### Lorentzkraft:

ein Magnetfeld erzeugt eine Kraft auf eine bewegte Ladung Ursache

$$\vec{F}(r) = q \vec{v} \times \vec{B}(r)$$

$\vec{F} = \int_L I d\vec{l} \times \vec{B}(r)$   $\rightarrow$  Lorentzkraft auf einen strömendurchflossenen Leiter

### Ampere'sches Gesetz:

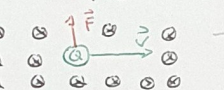
2 Stromdurchflossene Leiter über eine Kraft aufeinander aus

$\rightarrow$  2 bewegte Ladungen:

$$F = \frac{\mu_0}{4\pi} \frac{Q_1 Q_2}{|r_1 - r_2|^3} \times (Q_1 \vec{v}_1 \times (Q_2 \vec{v}_2 \times (r_1 - r_2)))$$

$\rightarrow$  2 Ströme:

$$F = \frac{\mu_0}{4\pi} \int_L \int_L \frac{I_1 d\vec{l}_1 \times (I_2 d\vec{l}_2 \times (r_1 - r_2))}{|r_1 - r_2|^3}$$



### Halleffekt:

Kräftegleichgewicht

$$\vec{F}_L + \vec{F}_C = 0$$

$\rightarrow$  Hallspannung:

$$U = \frac{IB_b}{enbd} = \frac{IB}{end}$$

b: Breite des Leiters

d: Dicke des Leiters

n: Ladungsträgerdichte

### Eigenschaften des Magnetismus:

### Magnetisierung:

relative magnetische Feldkonstante  $\mu_r$

$$\mu_r = \frac{B}{B_0} \quad B = B_0 + B_M = \mu_r B_0$$

Magnetfeld im Material

$$X_m = \frac{B_M}{B_0} = \mu_r - 1 \quad \text{Feld, dass durch das Material selbst erzeugt wird}$$

### Magnetische Erregung

$$H = \frac{B_0}{\mu_0} [H] = A/m$$

$$M = \frac{BH}{\mu_0} [M] = A/m$$



### Atomarer Ursprung:

atomare Kreisströme

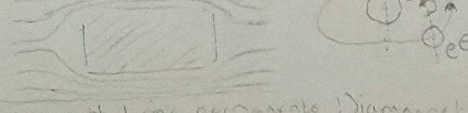
negativ geladene  $e^-$  umkreisen den Atomkern  $\rightarrow$  mag. Dipol

Auch drehen sich die  $e^-$  um ihre Achse  $\rightarrow$  normaleweise kreisen die  $e^-$  in paarweise entgegengesetzter Richtung

Die Feldebenen liegen auf

nur bei ungepaarten  $e^-$  (ungerade  $\ell$ ) besitzt das Atom einen mag. Dipol

alle Materialien zeigen diamagnetische Effekte



Dia: keine unpaar. atomare Kreissströme erzeugen Zentripetal-Kraft

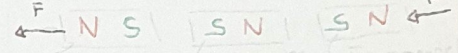
Para: unpaar. atomare Kreissströme erzeugen eine Dipol

Ferro: magnetische Ausrichtung von atomaren Dipolen

Feld wird verstärkt  $B_{eff} = B_0 + B_{ext}$

$\mu_r > 1 \quad X_m > 0$

$T_{paramagnet} < T < T_{ferromagnet}$  verschwindet nach einer Temperatur  $T$  die Felder werden wieder verstärkt



### Translatorische Kraft:

$$\vec{F} = -\vec{v} E_{pot} = \vec{v} (\vec{m} \vec{B}) = \pm I \vec{l} \vec{v} \vec{B} l$$

### Oberflächenströme:

in einem magnetisierten Material heben sich die atomaren Kreisströme im Inneren gegenseitig auf  $\rightarrow$  nur am Rand verbleibt ein resultierender Strom

$$\vec{M} = \frac{\vec{m}}{V} = \frac{I \vec{A}}{Ad} = \vec{n} \times \vec{j} A$$

$jA$ : Längstromdichte

Magnetfeld einer homogenen magnetisierten Kugel:

$$B_2(r) = \frac{\mu_0 2 \vec{m}}{4\pi r^3} = \frac{3 \mu_0 I \vec{M} r^2}{32 \pi r^3}$$

$$\vec{m} = 4\pi R^3 \vec{M} / 3$$

### Grenzflächen:

senkrechte/normal Komponente bleibt gleich

parallel/tangential Komponente erhöht sich um  $\mu_r$ /Beitrag der Längstromdichte

A:  $\vec{B}_{ausen} = \vec{B}_{innen}$

B:  $\vec{B}_{ausen} = \vec{B}_0$

$$\vec{B}_{innen} = \vec{B}_0 + \mu_0 \vec{H} = \vec{B}_0 + \mu_0 (\vec{n} \times \vec{j} A)$$

### Grenzflächenbedingung:

$$\text{senkrechte Komponente: } \vec{n} \cdot (\vec{B}_2 - \vec{B}_1) = 0$$

$$\text{parallele Komponente: } \vec{n} \times (\vec{B}_2 - \vec{B}_1) = -\vec{j} A$$

$\vec{B}_1$  und  $\vec{B}_2$  sind die Magnetfelder auf den beiden Seiten der Grenzfläche

$\vec{n}$  Normalenvektor von 2 zu 1

### Magnetische Abschirmung:

$$\text{Medium 1: } \mu_{r,1} = 1 \quad B_{1,z} = B_{2,z}$$

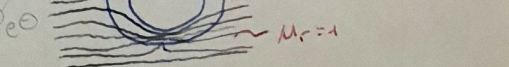
$$\text{Medium 2: } \mu_{r,2} \gg 1 \quad B_{2,z} = B_{1,z} + \mu_{r,2} H$$

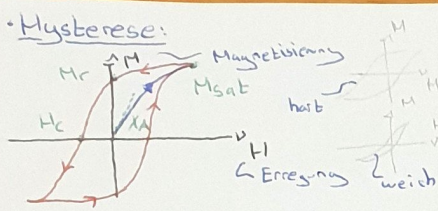
$$= \mu_{r,2} B_{1,x}$$

ausserhalb des Ferromagneten: senkrecht

im Inneren des Ferromagneten: parallel

Feldlinien verlaufen immer möglichst im magnetischen Material





- verlustige Magnetisierung: blaue Kurve  
- wiederholtes (Ent-)magnetisieren: rote Kurve

M<sub>sat</sub>: Sättigungsmagnetisierung

M<sub>r</sub>: Remanenzmagnetisierung

H<sub>c</sub>: Koerzitivfeld

Δ: Steigung der Neukurve, Anfangsuszeptibilität des Leiters [Wirkung  $\propto$  Leiter  $\propto$   $B \propto I^2 A_{leiter}$ ]

### Magnetische Anisotropie:

ein magnetisches Material lässt sich nicht in alle Richtungen gleich gut magnetisieren

→ leichte und schwere Achsen

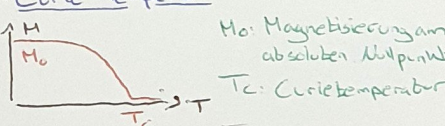
→ Ursache: Kristallstruktur, Geometrie

$$E = KV \sin^2(\theta) \quad V: \text{Winkel zwischen Magnetachse und Magnetisierung}$$

Anisotropie-Volumen

Parameter

Curie-Temperatur:



→ ab T<sub>C</sub> verliert ein Ferromagnet seine ferromagnetischen Eigenschaften → Paramagnet

### Magnetische Induktion:

#### Faraday'sches Induktionsgesetz:

$$U = -\frac{d}{dt} \int_A \vec{B}(\vec{r}) \cdot d\vec{A} = -\frac{d\Phi_B}{dt} \quad A: \text{Fläche der Schleife}$$

U: Induktionsspannung (EMF, electro-magnetic force) → dynamische, nicht konservative Spannung

$$\rightarrow \text{Differentialform: } \vec{v} \times \vec{E} = -\frac{\partial \vec{B}}{\partial t}$$

$$U = A \cdot B \sim V$$

→ Vorzeichen der Spannung wechselt mit dem des Magnetfeldes

→ periodisch wechselnde magnetische Feldlinien erzeugen elektrische Wirbel um sie herum

### Lenz'sche Regel:

Die induzierte Spannung und der induzierte Strom sind so gerichtet, dass sie eine der Ursache entgegen-gerichtete Wirkung erzielen.

→ Bsp: 2 Leiterschleifen ① U<sub>1</sub> ② U<sub>2</sub>

→ Strom durch Schleife 1 wird erhöht. In Schleife 2 wird ein Strom in entgegen-gesetzter Richtung induziert, U<sub>2</sub> < 0

⇒ Lenz: Strom in 2 bewirkt ein B-Feld, welches das B-Feld in 1 reduziert

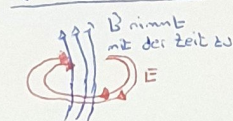
→ Abstand z wird vergrößert. In Schleife 2 wird ein Strom in gleicher Richtung induziert, U<sub>2</sub> > 0

⇒ Lenz: induzierte Strom bewirkt eine anziehende Kraft z, die das Auseinanderbewegen behindert

$$B_z = \frac{\mu_0 I R^2}{2 z^3}; \quad \Phi_M = \pi R^2 B = \frac{\mu_0 I \pi R^4}{2 z^2}$$

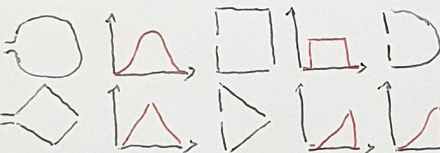
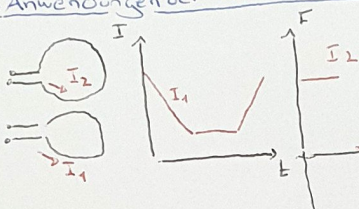
$$U_2 = -\frac{d \Phi_M}{dt} \quad a) U_2 = -\frac{\mu_0 I^2 R^4}{2 z^3} \frac{dI}{dt} \quad b) U_2 = \frac{\mu_0 I^2 R^4}{2 z^2} \frac{dI}{dt}$$

### UVirbelströme:



elektrischer Leiter wird in einem inhomogenen Magnetfeld bewegt → magnetischer Fluss ändert sich → es werden lokale Ströme induziert → erfahren eine Lorentzkraft → auf Kreisbahnen abgelenkt → Wirbelströme → generieren wiederum ein Magnetfeld → führen zu Leistungsverlusten infolge des el. Widerstandes des Leiters [Wirkung  $\propto$  Leiter  $\propto$   $B \propto I^2 A_{leiter}$ ]

### Anwendungen der Lenz'schen Regel:



### Skineffekt:

hochfrequente Ströme fließen nur in einer dünnen Oberflächenschicht des Leiters

→ Ursache: Induktion

→ Einflussgröße  $\delta \sim 1/\sqrt{f}$

### Induktivität:

$$U_{ind} = -\frac{d \Phi_M}{dt} = -\frac{d(LI)}{dt} = -L \frac{dI}{dt}$$

$$\text{Induktivität } L = 1 \text{ Henry} = 1 H = 1 T m^2/A$$

$$L = \frac{\Phi_M}{I} = \frac{1}{I} \int_A \vec{B}(\vec{r}) \cdot d\vec{A}$$

### Gegeninduktion von 2 Leiterschleifen:

$$L = \frac{\Phi_M}{I_1} = \frac{BA}{I_1} = \frac{\mu_0 \pi R^4}{2 z^2}$$

### Selbst-induktion einer langen Spule:

$$L = \frac{1}{I} \sum_i \int_A \vec{B}(\vec{r}) \cdot d\vec{A} = \frac{N}{I} \int_A B \cdot dA = \frac{N^2 \mu_0 \pi R^2}{l}$$

### Energie des Magnetfeldes:

in einer Spule kann mag. Energie gespeichert werden

#### Energie in einer Induktivität:

Strom wird in einer Induktivität in der Zeit T auf I<sub>0</sub> erhöht

I(t) = I<sub>0</sub>t/T, U(t) = L dI/dt = LI<sub>0</sub>/T

dabei wird Arbeit verrichtet

$$[E_{mag} = \int_0^T T P(t) dt = \int_0^T U(t) I(t) dt = \int_0^T \frac{L I_0^2}{T} dt = \frac{1}{2} L I_0^2]$$

### Energie einer langen Spule:

$$E_{mag} = \frac{1}{2} L I_0^2 = \frac{1}{2} L \cdot (N^2 \mu_0 \pi R^2 l)^2$$

### Energiedichte des Magnetfeldes:

$$w = \frac{E_{mag}}{V} = \frac{N^2 \mu_0 I^2}{2 L^2} = \frac{1}{2 \mu_0} B^2$$

### Nützliches zu Wirbelströmen

- Schlitz verhindert die meisten Ringströme

- Transformator besteht aus einzelnen Platten

- viele Kabel mit kleinem φ anstatt 1 grosses

- Coaxialkabel: Aussenschicht aus Silber

- Drähte werden verdreht um Induktivität zu vermindern

### Maxwell'schen Gleichungen:

#### Kraftgesetz:

$$\vec{F}(\vec{r}) = Q_0 [\vec{E}(\vec{r}) + \vec{v} \times \vec{B}(\vec{r})]$$

→ erweiterte Lorentzkraft

#### Ursache Elektrische Felder:

→ elektrische Ladung

→ zeitlich änderndes Magnetfeld

#### Ursache Magnetfelder:

→ elektrischer Strom (atomar und makroskopisch)

→ zeitlich änderndes el. Feld

#### 1. Maxwell Gleichung:

→ Gesetze von Gauss

$$\oint_A \vec{E}(\vec{r}) \cdot d\vec{A} = \frac{Q}{\epsilon_0} \quad \nabla \cdot \vec{E}(\vec{r}) = \frac{Q}{\epsilon_0}$$

#### 2. Maxwell Gleichung:

→ Gesetze von Gauss für Magnetfelder

$$\oint_A \vec{B}(\vec{r}) \cdot d\vec{A} = 0 \quad \nabla \cdot \vec{B}(\vec{r}) = 0$$

#### 3. Maxwell Gleichung:

→ Faradaysches Induktionsgesetz

$$\oint_L \vec{E}(\vec{r}) \cdot d\vec{l} = -\frac{d}{dt} \int_A \vec{B}(\vec{r}) \cdot d\vec{A}$$

$$\nabla \times \vec{E}(\vec{r}) = -\frac{\partial}{\partial t} \vec{B}(\vec{r})$$

#### 4. Maxwell Gleichung:

→ Erweitertes Durchflutungsgesetz

$$\oint_L \vec{B}(\vec{r}) \cdot d\vec{l} = \mu_0 I + \mu_0 \epsilon_0 \frac{\partial}{\partial t} \int_A \vec{E}(\vec{r}) \cdot d\vec{A}$$

$$\nabla \times \vec{B}(\vec{r}) = \mu_0 j + \mu_0 \epsilon_0 \frac{\partial}{\partial t} \vec{E}(\vec{r})$$

### Vektoroperatoren:

→ Divergenz: → Rotation:

$$\vec{\nabla} \cdot \vec{v}$$

Mass für Quelldichte Mass für Mikrovirbel

### Maxwell'scher Verschiebestrom:

Erweiterung des Durchflutungsgesetzes von statische auf dynamische Felder

$$\oint_L \vec{B}(\vec{r}) \cdot d\vec{l} = \mu_0 I + \mu_0 \epsilon_0 \frac{\partial}{\partial t} \int_A \vec{E}(\vec{r}) \cdot d\vec{A}$$

$$\oint_L \vec{B}(\vec{r}) \cdot d\vec{l} = 0$$

$$\oint_L \vec{B}(\vec{r}) \cdot d\vec{l} = \mu_0 I$$

## Elektromagnetisches Feld:

### Nahfeld:

- nahezu statisches Feld, kurze Distanzen
- Beiträge der Ladung und des Stroms dominieren

$$\vec{E}(\vec{r}) = \frac{\Delta l(\vec{r})}{\epsilon_0}$$

$$\vec{B}(\vec{r}) \approx \mu_0 j$$

### Fernfeld:

- schnell ändernde (hochfrequente) Felder
- grosse Distanzen
- Beiträge der Ladung und Ströme fallen mit der Distanz schnell ab

$$\vec{B}(\vec{r}) = -\frac{d\vec{B}(\vec{r})}{dt}$$

$$\vec{B}(\vec{r}) \approx \mu_0 \epsilon_0 \frac{d\vec{E}(\vec{r})}{dt}$$

$$\vec{D} = \vec{E} + \vec{B} \approx 0$$

→ entspricht einer elektromagnetischen Welle

## Elektromagnetische Welle:

### Erzeugung der el. mag. Welle:

Ursprung in beschleunigter Ladung welche el. und mag. Felder generiert

→ zeitlich ändernde el. und mag. Felder können sich eigenständig aufrecht erhalten  
→ ohne Ladungsträger, Materie

### Gleichungen der el. mag. Welle:

$$\frac{\partial^2 \vec{B}(\vec{r})}{\partial t^2} = \frac{1}{\mu_0 \epsilon_0} \vec{E}(\vec{r})$$

$$\frac{\partial^2 \vec{E}(\vec{r})}{\partial t^2} = \frac{1}{\mu_0 \epsilon_0} \vec{B}(\vec{r})$$

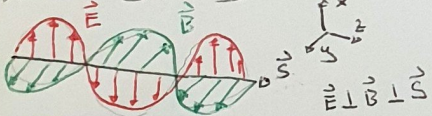
Wellengleichung mit Ausbreitungsgeschwindigkeit  
 $C = 1/\sqrt{\mu_0 \epsilon_0}$

### Definition:

Elektromagnetische Wellen (Licht) sind die Fernwirkung beschleunigter Ladung

### Eigenschaften:

el. Feld und mag. Feld einer elektromagnetischen Welle stehen senkrecht aufeinander und sind senkrecht zur Ausbreitungsrichtung der Welle



### Poynting Vektor:

gibt die Ausbreitungsrichtung der EM Welle an

$$\vec{S} = 1/\mu_0 (\vec{E} \times \vec{B}) = \vec{E} \times \vec{H}$$

Betrag ist die Leistungsdichte / Intensität, die durch die EM Welle transportiert wird

### Amplitudenvergleich:

$$|\vec{B}| = 1/C |\vec{E}|$$

### Eigenschaften:

- Transversalwellen

- 2 Schwingungsrichtungen / Polarisation

$$\vec{E}(x, t) = E_0 e^{i(\omega t - kx + \varphi)}$$

$$\vec{B}(x, t) = B_0 e^{i(\omega t - kx + \varphi)}$$

$$c_0 = 24557921458 \text{ m/s}$$

Schwingungsfrequenz mit Betrag der wellenlängen  $\nu \cdot 1/\lambda = \Delta f$

$$\text{Amplitude} \nu = \nu \cdot 1/\lambda = \Delta f$$

## Licht und Wellen:

### Wellenlehre:

#### Eindimensionale Wellengleichung:

$$\frac{\partial^2 \Psi(x, t)}{\partial t^2} = c^2 \frac{\partial^2 \Psi(x, t)}{\partial x^2}$$

$\Psi(x, t)$ : Wellenfunktion; Auslenkung einer Größe  $\Psi(x, t)$  an der Stelle  $x$  zur Zeit  $t$

$c$ : Wellengeschwindigkeit

→ Welle ohne Dämpfung mit  $C = \text{konst.}$

$$\Psi(x, t) = \Psi(x - Ct, 0)$$

Spannkraft

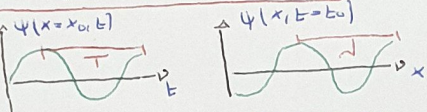
$$\frac{\partial^2 z}{\partial t^2} = \frac{1}{\mu} \frac{\partial^2 z}{\partial x^2} = c^2 \frac{\partial^2 z}{\partial x^2}; C = \sqrt{\frac{1}{\mu}}$$

Harmonische Welle:

$$\Psi(x, t) = \Psi_0 e^{i(\omega t \pm kx + \varphi)}$$

→ physikalische Welle ist immer reell

$$\Psi(x, t) = \Psi_0 \cos(\omega t \pm kx + \varphi)$$



Zeitgrößen:

$$\omega: \text{Kreisfrequenz}$$

$$F: \text{Frequenz} (\nu)$$

$$T: \text{Periodendauer}$$

$$\nu: \text{Wellenzahl}$$

$$A: \text{Wellenlänge}$$

Ortsgrößen:

$$k: \text{Wellenzahl}$$

$$\nu: \text{Wellenzahl}$$

$$A: \text{Wellenlänge}$$

vallgemeine Größen:

$$\Psi_0: \text{Amplitude}$$

$$\varphi: \text{Phase der Welle}$$

Zusammenhänge:

$$T = 1/F = 2\pi/\omega \quad F = \omega/2\pi = 1/T$$

$$\nu = \omega/k = \omega/2\pi/k = 2\pi/k \quad \tilde{\nu} = \frac{1}{A}$$

$$\text{Ausbreitung} = \omega/k = C = \text{Wellengeschw.}$$

### Ausbreitungsrichtung:

→ rechtslaufende Welle:

bewegt sich in positive x-Richtung

→ linkslaufende Welle:

bewegt sich in negative x-Richtung

$$\Psi(x, t) = \Psi_0 \cos(\omega t + kx + \varphi)$$

→ nur das relative Vorzeichen zwischen  $\omega$  und  $k$  zählt

### Phase:

Amplitude der Welle zur Zeit  $t=0$

am Ort  $x=0$

### Superpositionsprinzip:

Wellengleichung erfüllt das Superpositions-

prinzip → Summe von harmonischen

Wellen ist auch eine Lösung

- harmonische Welle: Basis-/Elementarwelle

Wellengleichung ist frequenzabhängig

$$\Psi(x, t) = \sum_{n=1}^N \Psi_n e^{i[\omega_n t - k_n x + \varphi_n]}$$

$$= \frac{1}{2} \Psi_0 e^{i[\omega_0 t - k_0 x + \varphi_0]}$$

$$= \frac{1}{2} \Psi_0 e^{i[\omega_0 t - k_0 x + \varphi_0]}$$

- Schwingung:

- 2 Wellen mit  $\omega_1$  und  $\omega_2$ , die nahe beieinander liegen

$$\rightarrow \Psi_{0,1} = \Psi_{0,2}$$

$$\rightarrow \Psi_1 = \Psi_2 = 0$$

$$\Psi(t) = \Psi_0 e^{i\omega_1 t} + \Psi_0 e^{i\omega_2 t}$$

Einhüllende (Gesamtwellenfunktion)

$$\rightarrow \bar{\omega} = 1/2(\omega_1 + \omega_2) \quad \Delta\omega = 1/2(\omega_2 - \omega_1)$$

→ Frequenzdifferenz

$$\rightarrow \nu = \omega/2\pi = 1/2(\omega_2 - \omega_1)$$

→ Gruppenfrequenz

$$\rightarrow v_g = \omega/2\pi = \nu + k \frac{d\nu}{dk}$$

### Gaußförmiges Wellenpaket:

→ Einheitliche entsprechende einer Gaußkurve

$$\Psi(t) = \Psi_0 e^{-i\omega t} e^{-\frac{(t-t_0)^2}{2\Delta t^2}}$$

$\bar{\omega}$ : mittlere Frequenz

$\Delta t$ : Breite des Wellenpaketes

$\Delta x = c \Delta t$ : räumliche Ausdehnung des Pakets

→ Frequenzraum Wellenpaket:  $\bar{\omega} \pm \Delta\omega$

$$\Psi_0(\nu) = \frac{\Psi_0}{\Delta\omega} e^{-\frac{(\nu - \bar{\omega})^2}{2(\Delta\omega)^2}}$$

$\Delta\omega = 1/\Delta t$

### Zusammenhänge:

→ Kurzes Zeitsignal → langes Spektrum

→  $\nu$  (Zeitsignal)  $\rightarrow \Delta\omega$  (Spektrum)

→  $\Delta t$  (Zeitsignal)  $\rightarrow \Delta x$  (Spektrum)

→  $\Delta\omega$  (Zeitsignal)  $\rightarrow \Delta\nu$  (Spektrum)

→  $\Delta x$  (Spektrum)  $\rightarrow \Delta t$  (Zeitsignal)

→  $\Delta\nu$  (Spektrum)  $\rightarrow \Delta\omega$  (Zeitsignal)

→  $\Delta\omega$  (Zeitsignal)  $\rightarrow \Delta\nu$  (Spektrum)

→  $\Delta t$  (Zeitsignal)  $\rightarrow \Delta x$  (Spektrum)

→  $\Delta\nu$  (Zeitsignal)  $\rightarrow \Delta\omega$  (Spektrum)

→  $\Delta x$  (Spektrum)  $\rightarrow \Delta t$  (Zeitsignal)

→  $\Delta\omega$  (Spektrum)  $\rightarrow \Delta\nu$  (Zeitsignal)

→  $\Delta\nu$  (Zeitsignal)  $\rightarrow \Delta\omega$  (Spektrum)

→  $\Delta t$  (Zeitsignal)  $\rightarrow \Delta x$  (Spektrum)

→  $\Delta x$  (Spektrum)  $\rightarrow \Delta t$  (Zeitsignal)

→  $\Delta\omega$  (Zeitsignal)  $\rightarrow \Delta\nu$  (Spektrum)

→  $\Delta\nu$  (Zeitsignal)  $\rightarrow \Delta\omega$  (Spektrum)

→  $\Delta x$  (Spektrum)  $\rightarrow \Delta t$  (Zeitsignal)

→  $\Delta\omega$  (Zeitsignal)  $\rightarrow \Delta\nu$  (Spektrum)

→  $\Delta\nu$  (Zeitsignal)  $\rightarrow \Delta\omega$  (Spektrum)

→  $\Delta t$  (Zeitsignal)  $\rightarrow \Delta x$  (Spektrum)

→  $\Delta x$  (Spektrum)  $\rightarrow \Delta t$  (Zeitsignal)

→  $\Delta\omega$  (Zeitsignal)  $\rightarrow \Delta\nu$  (Spektrum)

→  $\Delta\nu$  (Zeitsignal)  $\rightarrow \Delta\omega$  (Spektrum)

→  $\Delta x$  (Spektrum)  $\rightarrow \Delta t$  (Zeitsignal)

→  $\Delta\omega$  (Zeitsignal)  $\rightarrow \Delta\nu$  (Spektrum)

→  $\Delta\nu$  (Zeitsignal)  $\rightarrow \Delta\omega$  (Spektrum)

→  $\Delta t$  (Zeitsignal)  $\rightarrow \Delta x$  (Spektrum)

→  $\Delta x$  (Spektrum)  $\rightarrow \Delta t$  (Zeitsignal)

→  $\Delta\omega$  (Zeitsignal)  $\rightarrow \Delta\nu$  (Spektrum)

→  $\Delta\nu$  (Zeitsignal)  $\rightarrow \Delta\omega$  (Spektrum)

→  $\Delta x$  (Spektrum)  $\rightarrow \Delta t$  (Zeitsignal)

→  $\Delta\omega$  (Zeitsignal)  $\rightarrow \Delta\nu$  (Spektrum)

→  $\Delta\nu$  (Zeitsignal)  $\rightarrow \Delta\omega$  (Spektrum)

→  $\Delta t$  (Zeitsignal)  $\rightarrow \Delta x$  (Spektrum)

→  $\Delta x$  (Spektrum)  $\rightarrow \Delta t$  (Zeitsignal)

→  $\Delta\omega$  (Zeitsignal)  $\rightarrow \Delta\nu$  (Spektrum)

→  $\Delta\nu$  (Zeitsignal)  $\rightarrow \Delta\omega$  (Spektrum)

→  $\Delta x$  (Spektrum)  $\rightarrow \Delta t$  (Zeitsignal)

→  $\Delta\omega$  (Zeitsignal)  $\rightarrow \Delta\nu$  (Spektrum)

→  $\Delta\nu$  (Zeitsignal)  $\rightarrow \Delta\omega$  (Spektrum)

→  $\Delta t$  (Zeitsignal)  $\rightarrow \Delta x$  (Spektrum)

→  $\Delta x$  (Spektrum)  $\rightarrow \Delta t$  (Zeitsignal)

→  $\Delta\omega$  (Zeitsignal)  $\rightarrow \Delta\nu$  (Spektrum)

→  $\Delta\nu$  (Zeitsignal)  $\rightarrow \Delta\omega$  (Spektrum)

→  $\Delta x$  (Spektrum)  $\rightarrow \Delta t$  (Zeitsignal)

→  $\Delta\omega$  (Zeitsignal)  $\rightarrow \Delta\nu$  (Spektrum)

→  $\Delta\nu$  (Zeitsignal)  $\rightarrow \Delta\omega$  (Spektrum)

→  $\Delta t$  (Zeitsignal)  $\rightarrow \Delta x$  (Spektrum)

→  $\Delta x$  (Spektrum)  $\rightarrow \Delta t$  (Zeitsignal)

→  $\Delta\omega$  (Zeitsignal)  $\rightarrow \Delta\nu$  (Spektrum)

→  $\Delta\nu$  (Zeitsignal)  $\rightarrow \Delta\omega$  (Spektrum)

→  $\Delta x$  (Spektrum)  $\rightarrow \Delta t$  (Zeitsignal)

→  $\Delta\omega$  (Zeitsignal)  $\rightarrow \Delta\nu$  (Spektrum)

→  $\Delta\nu$  (Zeitsignal)  $\rightarrow \Delta\omega$  (Spektrum)

→  $\Delta t$  (Zeitsignal)  $\rightarrow \Delta x$  (Spektrum)

→  $\Delta x$  (Spektrum)  $\rightarrow \Delta t$  (Zeitsignal)

→  $\Delta\omega$  (Zeitsignal)  $\rightarrow \Delta\nu$  (Spektrum)

→  $\Delta\nu$  (Zeitsignal)  $\rightarrow \Delta\omega$  (Spektrum)

→  $\Delta x$  (Spektrum)  $\rightarrow \Delta t$  (Zeitsignal)

→  $\Delta\omega$  (Zeitsignal)  $\rightarrow \Delta\nu$  (Spektrum)

→  $\Delta\nu$  (Zeitsignal)  $\rightarrow \Delta\omega$  (Spektrum)

→  $\Delta t$  (Zeitsignal)  $\rightarrow \Delta x$  (Spektrum)

→  $\Delta x$  (Spektrum)  $\rightarrow \Delta t$  (Zeitsignal)

→  $\Delta\omega$  (Zeitsignal)  $\rightarrow \Delta\nu$  (Spektrum)

→  $\Delta\nu$  (Zeitsignal)  $\rightarrow \Delta\omega$  (Spektrum)

→  $\Delta x$  (Spektrum)  $\rightarrow \Delta t$  (Zeitsignal)

→  $\Delta\omega$  (Zeitsignal)  $\rightarrow \Delta\nu$  (Spektrum)

→  $\Delta\nu$  (Zeitsignal)  $\rightarrow \Delta\omega$  (Spektrum)

→  $\Delta t$  (Zeitsignal)  $\rightarrow \Delta x$  (Spektrum)

→  $\Delta x$  (Spektrum)  $\rightarrow \Delta t$  (Zeitsignal)

→  $\Delta\omega$  (Zeitsignal)  $\rightarrow \Delta\nu$  (Spektrum)

→  $\Delta\nu$  (Zeitsignal)  $\rightarrow \Delta\omega$  (Spektrum)

→  $\Delta x$  (Spektrum)  $\rightarrow \Delta t$  (Zeitsignal)

→  $\Delta\omega$  (Zeitsignal)  $\rightarrow \Delta\nu$  (Spektrum)

→  $\Delta\nu$  (Zeitsignal)  $\rightarrow \Delta\omega$  (Spektrum)

→  $\Delta t$  (Zeitsignal)  $\rightarrow \Delta x$  (Spektrum)

→  $\Delta x$  (Spektrum)  $\rightarrow \Delta t$  (Zeitsignal)

→  $\Delta\omega$  (Zeitsignal)  $\rightarrow \Delta\nu$  (Spektrum)

→  $\Delta\nu$  (Zeitsignal)  $\rightarrow \Delta\omega$  (Spektrum)

→  $\Delta x</math$

### Absorption:

-> Intensität der Welle nimmt ab  
-> Welle gibt Energie an das Medium ab

-> Abfall der Amplitude bei einer gedämpften Schwingung

-> Amplitude als Funktion der Zeit:  
 $\Psi(t) = \Psi_0 e^{-t/\tau}$  exponentielle Abklingzeit  
 $\tau = 1/2\pi \approx 0.368$

-> Amplitude als Raumzeit-Funktion:  
 $|\Psi(x,t)| = \Psi_0 e^{-\alpha x/2} e^{i(\omega t - kx + \varphi)}$

$\alpha$ : Absorptionskoeffizient  
 $\delta_e$ : charakteristische Abfallsdistanz / Eindringtiefe

$\Psi_0 \propto \frac{1}{\delta_e}$   
 $\delta_e = C\tau$

-> Intensität:  $I(x) = I_0 e^{-\alpha x}$

-> Absorption und Dispersion treten immer zusammen auf

Ebene Welle:

$$|\Psi(\vec{x},t)| = \Psi_0 e^{i(\omega t - k \cdot \vec{x} + \varphi)}$$

Dreidimensionale Wellengleichung:

$$\frac{\partial^2 \Psi(\vec{x},t)}{\partial t^2} = c^2 \nabla^2 \Psi(\vec{x},t) = c^2 \left( \frac{\partial^2}{\partial x^2} + \frac{\partial^2}{\partial y^2} + \frac{\partial^2}{\partial z^2} \right) \Psi$$

Kugelwelle: Abstand zur Quelle

$$|\Psi(\vec{r},t)| = \Psi_0 \frac{e^{i(\omega t - kr + \varphi)}}{\sqrt{4\pi r}}$$

-> ausgehend von einer Punktquelle

-> Amplitude nimmt linear ab mit  $r$

-> Intensität der Welle über die Kugeloberfläche muss konstant sein

Transversalwellen:

Schwingung  $\perp$  Ausbreitungsrichtung

-> 2 Freiheitsgrade (horizontale und vertikale Polarisation)

Bsp.: Seilwellen, EM-Wellen

Longitudinalwellen:

Schwingung // Ausbreitungsrichtung

Bsp.: akustische Welle (Schall)

-> Transversal- und Longitudinalwellen können überlagert werden (Wasser)

Reflexion und Transmission:

Tritt an der Grenzfläche zwischen 2 Medien auf -> ein Teil der Welle wird reflektiert, der andere durchgelassen

$$\rightarrow \Psi_{0,A} e^{-ik_1 x} \quad \text{Impedanz } Z_1$$

$$\rightarrow \Psi_{0,C} e^{-ik_2 x} \quad \text{Impedanz } Z_2$$

Stetigkeitsbedingungen:

-> Amplitude:  $\Psi_{0,A} + \Psi_{0,D} = \Psi_{0,C}$

-> Kräftegleichgewicht:  $Z_1 \Psi_{0,A} - Z_2 \Psi_{0,C} = Z_2 \Psi_{0,D}$

Reflexionskoeffizient:

$$r = \frac{\Psi_{0,D}}{\Psi_{0,A}} = \frac{Z_1 - Z_2}{Z_1 + Z_2} \quad \Psi_{0,D} = r \Psi_{0,A}$$

Transmissionskoeffizient:

$$t = \frac{\Psi_{0,C}}{\Psi_{0,A}} = \frac{2Z_1}{Z_1 + Z_2} = 1 + r$$

### Leistung der reflektierten Welle:

$$P_B = \left| \frac{\Psi_{0,D}}{\Psi_{0,A}} \right|^2 P_A = \left( \frac{Z_1 - Z_2}{Z_1 + Z_2} \right)^2 P_A$$

### Leistung der transmittierten Welle:

$$P_C = P_A - P_B = \frac{4Z_1 Z_2}{(Z_1 + Z_2)^2} P_A$$

### Reflexionsgrad:

$$R = \frac{P_B}{P_A} = \left( \frac{Z_1 - Z_2}{Z_1 + Z_2} \right)^2 = r^2$$

### Transmissiongrad

$$T = \frac{P_C}{P_A} = \frac{4Z_1 Z_2}{(Z_1 + Z_2)^2} = \frac{Z_2}{Z_1} t^2 = 1 - R$$

### Spezialfälle:

-> Reflexion an hartem Medium, Wand:

$$Z_2 \rightarrow \infty; \Psi_{0,B} = -\Psi_{0,A}; \Psi_{0,C} = 0; P_C = 0$$

-> Reflexion an weichem Medium:

$$(loses Ende) \quad Z_2 \rightarrow 0; \Psi_{0,B} = \Psi_{0,A}; \Psi_{0,C} = 2\Psi_{0,A}; P_C = 0$$

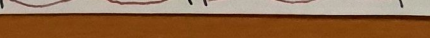
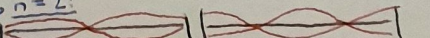
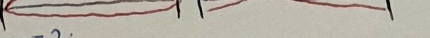
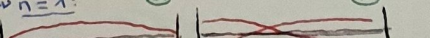
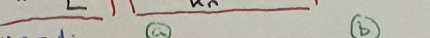
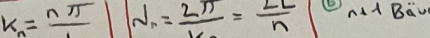
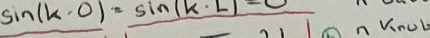
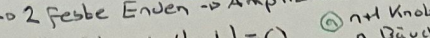
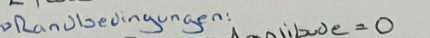
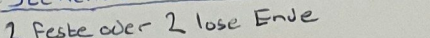
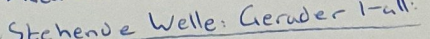
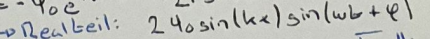
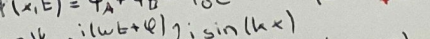
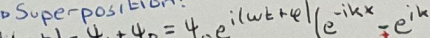
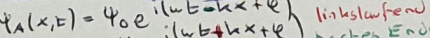
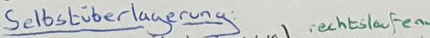
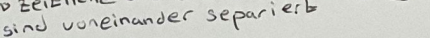
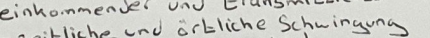
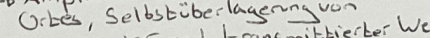
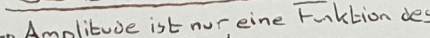
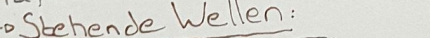
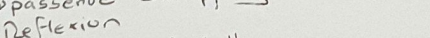
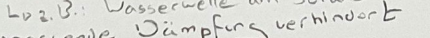
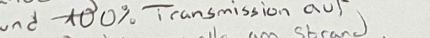
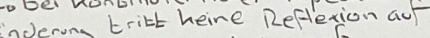
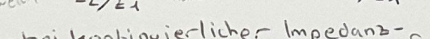
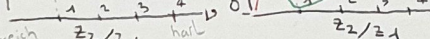
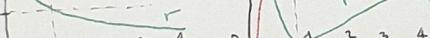
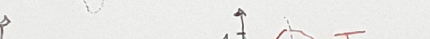
-> Kraft = 0  $\rightarrow$  transportierte Energie = 0

-> Impedanzanpassung:

$$Z_2 = Z_1; \Psi_{0,B} = 0; \Psi_{0,C} = \Psi_{0,A}; P_C = P_A$$

### Zusammenhänge:

$$\rightarrow Z_2 \ll Z_1 \quad \rightarrow Z_2 \gg Z_1$$

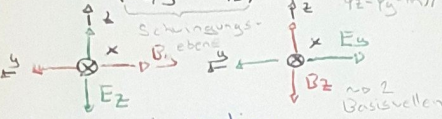




## Polarisation:

- Allgemeines Richtung des E-Felds
- 2 mögliche Schwingungsrichtungen Lx 2 Freiheitsgrade
- Linienpolarisation: -: nahezu +: mindestens Phasendifferenz:  $\Delta\phi = m\pi$

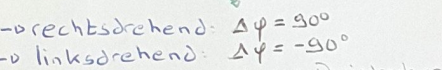
$$\vec{E}(x,t) = (E_{0,y} + E_{0,z}) e^{i(wt - kx + \phi_0)}$$



### Zirkularpolarisation

Phasendifferenz:  $\Delta\phi = (m + 1/2)\pi$   
Amplituden sind gleich:  $|E_{0,y}| = |E_{0,z}|$   
 $\vec{E}$  Vektor rotiert in der yz-Ebene

$$\vec{E}(x,t) = |E_{0,y}| (e^{iyt} + ie^{izt}) e^{i(wt - kx + \phi_0)}$$

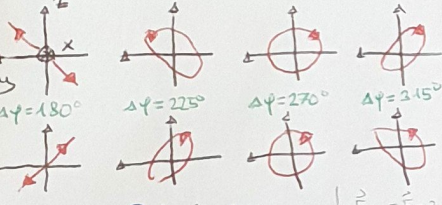


- rechtsdrehend:  $\Delta\phi = 90^\circ$

- linksdrehend:  $\Delta\phi = -90^\circ$

Periode der Rotation ist eine Periodendauer resp. eine Wellenlänge

Überlagerung von horizontaler und vertikaler Polarisation:  
 $\Delta\phi = 0^\circ \quad \Delta\phi = 45^\circ \quad \Delta\phi = 90^\circ \quad \Delta\phi = 135^\circ$



Elliptische Polarisation:  $E_{0,y} = E_{0,z}$

Phasendifferenz:  $\Delta\phi \neq m\pi$   
 $\vec{E}$  Vektor rotiert in der yz-Ebene und beschreibt eine Ellipse

Superposition von linear oder zirkular polarisierten Welle

Polarisationsfilter:

anisotrope Materialien, die eine Polarisationsrichtung reflektieren oder absorbieren

mittlere transmittierbare Intensität beträgt 50%

Reflexion und Transmission unter einem Winkel:

s-polarisiert: horizontal transverse electric

$\vec{E}$  parallel zur Grenzfläche (TE)

p-polarisiert: vertikal transverse magnetic

$\vec{H}/\vec{B}$  parallel zur Grenzfläche (TM)

$\vec{E}$  parallel zur Einfallsrichtung

Randbedingungen:  $E_{1,||} = E_{2,||}$

Reflektionskoeffizient:

$$R = \left( \frac{Z_{2,||} - Z_{1,||}}{Z_{2,||} + Z_{1,||}} \right)^2$$

Metallischer Polarisationsfilter:

löst  $\perp$ -Wellen durch

so wäre es leitfähig und würde ein Gegenfeld erzeugen

## Eigenschaften s-Wellen:

Impedanzen:

einfallende Welle:

$$Z_{1S} = \frac{E_{1S}}{H_{1S}} = \frac{E_1}{H_1 \cos(\alpha_1)} = \frac{Z_1}{\cos(\alpha_1) n_1 \cos(\alpha_1)}$$

transmittierte Welle:

$$Z_{2S} = \frac{E_{2S}}{H_{2S}} = \frac{E_2}{H_2 \cos(\alpha_2)} = \frac{Z_2}{\cos(\alpha_2) n_2 \cos(\alpha_2)}$$

Reflexionsgrad:

$$R_S = \left| \frac{Z_{2S} - Z_{1S}}{Z_{2S} + Z_{1S}} \right|^2 = \left| \frac{(n_1 \cos(\alpha_1) - n_2 \cos(\alpha_2))}{n_1 \cos(\alpha_1) + n_2 \cos(\alpha_2)} \right|^2 = \left| \frac{\cos(\alpha_1) - \sqrt{(n_2/n_1)^2 - \sin^2(\alpha_1)}}{\cos(\alpha_1) + \sqrt{(n_2/n_1)^2 - \sin^2(\alpha_1)}} \right|^2$$

## Eigenschaften p-Wellen:

Impedanzen:

einfallende Welle:

$$Z_{1P} = \frac{E_{1P}}{H_{1P}} = \frac{E_1 \cos(\alpha_1)}{H_1} = Z_1 \cos(\alpha_1) = \frac{Z_1 \cos(\alpha_1)}{n_1}$$

transmittierte Welle:

$$Z_{2P} = \frac{E_{2P}}{H_{2P}} = \frac{E_2 \cos(\alpha_2)}{H_2} = Z_2 \cos(\alpha_2) = \frac{Z_2 \cos(\alpha_2)}{n_2}$$

Reflexionsgrad:

$$R_P = \left| \frac{Z_{2P} - Z_{1P}}{Z_{2P} + Z_{1P}} \right|^2 = \left| \frac{(n_1 \cos(\alpha_1) - n_2 \cos(\alpha_2))}{n_1 \cos(\alpha_1) + n_2 \cos(\alpha_2)} \right|^2 = \left| \frac{(\sqrt{n_2/n_1})^2 - \sin^2(\alpha_1) - (n_2/n_1)^2 \cos^2(\alpha_1)}{(\sqrt{n_2/n_1})^2 - \sin^2(\alpha_1) + (n_2/n_1)^2 \cos^2(\alpha_1)} \right|^2$$

Brewster-Gesetz:

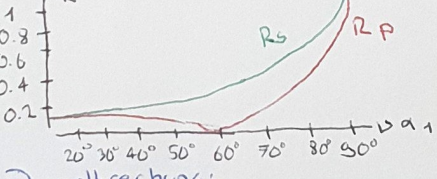
Brewster-Winkel: Winkel  $\alpha_1$ , bei dem der Reflexionsgrad für p-Wellen 0 ist

Reflektierte Welle ist komplett s-polarisiert

$$\alpha_1, \beta = \tan^{-1} \left( \frac{n_2}{n_1} \right)$$

Wasser:  $\alpha_1, \beta \approx 53^\circ$

Graphen von  $R_S$  und  $R_P$ :



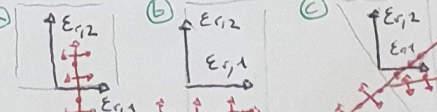
Doppelbrechung:

anisotrope Materialien können verschiedene Brechungsindizes in den verschiedenen Raumrichtungen haben

Ursache: nicht symmetrische Kristalle, gitter, ausgerichtete Kettenmoleküle

Brechungsindex abhängig von Polarisierung

Fallunterscheidung: optische Achse,  $E_{1,2}$ -Richtung



Strahl fällt entlang der opt. Achse ein, el. Feld ist  $\perp$  zur opt. Achse polarisiert

Kristall verhält sich wie ein normales Medium mit Brechungsindex  $n_1 = \sqrt{Z_{11}}$

Strahl fällt  $\perp$  zu opt. Achse ein, el. Feld  $\parallel$  zur opt. Achse erfährt keine andere Dielektrizitätskonstante als das el. Feld  $\perp$  zu Achse

Welle ist verlangsamt, keine Doppelbrechung (Wechsel von linear zu zirk. Polari.)

Strahl fällt unter einem beliebigen Winkel ein  
orientierter Strahl wird unverändert transmittiert und polarisiert

ausorientierter Strahl wird gebrochen und senkrecht dazu polarisiert

Doppelbrechung

Gangunterschied  $\Delta \rightarrow \Delta\phi = 90^\circ$   
Wechsel von linear zu zirkular

Gangunt.  $\frac{1}{2} \rightarrow \Delta\phi = 180^\circ$   
Wechsel von horizontal zu vertical oder von links-rechts-durchgehend

Systeme mehrerer Polarisatoren:

Gesetz von Malus:  $I_2 = I_1 \cos^2(\beta)$

Optische Aktivität: mit n Polarisatoren, die um einen kleinen Winkel  $\beta/n$  verschoben sind, lässt sich im Grenzfall  $n \rightarrow \infty$  eine polarisierte Welle ohne Intensitätsverlust drehen

$$I_{n+1} = I_1 \cos^{2n}(\beta/n) \propto I_1 [1 - \frac{1}{2} (\beta/n)^2]^{2n}$$

$n \rightarrow \infty \rightarrow I_1 \rightarrow$  z.B. mit chiralen Molekülen, Moleküle ohne Spiegelsymmetrie

Interferenz:

Überlagerung von Wellen nach dem Superpositionsprinzip

Kohärenz: 2 Wellen, deren Phasendifferenz an jedem Ort gleich ist heißen kohärent, wenn dies gilt

haben die selbe Frequenz meistens

Unterscheidung zwischen räumlicher und zeitlicher Kohärenz

Realität: nie die gleiche Frequenz  
Kohärenzlänge / -zeit

Kohärenzlänge: Distanz  $\Delta d$ , bei welcher die Differenz zwischen Interferenzmaximum- und minimum auf  $1/e \approx 37\%$  der Anfangsdifferenz abgefallen ist

Superposition von 2 kohärenten Wellen:

$$Re[\Psi(x,t)] = 2 \cos(\Delta\phi) \bar{A} \cos(wt - kx + \varphi) - 2 \sin(\Delta\phi) \bar{A} \sin(wt - kx + \varphi)$$

$\bar{A} = \frac{1}{2}(\Psi_A + \Psi_B)$ : mittlere Amplitude

$\Delta\phi = \frac{1}{2}(\Psi_A - \Psi_B)$ : halbe Amplitudendifferenz

$\varphi = \frac{1}{2}(\Psi_A + \Psi_B)$ : mittlere Phase

$\Delta\psi = \frac{1}{2}(\Psi_A - \Psi_B)$ : halbe Phasendifferenz

gleiche Amplitude:

$$Re[\Psi(x,t)] = 2 \cos(\Delta\phi) \bar{A} \cos(wt - kx + \varphi)$$

Interferenz

Intensität:  $I = |\Psi|^2 = \frac{1}{2} \int (4|\Psi(x,t)|^2) dx = \frac{1}{2} \cos^2(\Delta\phi) \bar{A}^2$

konstruktive Interferenz:  $\Delta\phi = m\pi$

destruktive Interferenz:  $\Delta\phi = (m+1/2)\pi$

